

C_2NH_7

$(CH_3)_2 NH$

5187

1938

$B_3N_3H_6$ (r), $(CH_3)_2NH$ (r), B_2NH_7 (r,

Bauer S.H.

J.Am.Chem.Soc., 1938, 60, 524-30

J



C_2NH_7

C₂H₅NH₂

B.D.-1722-IV | 1953

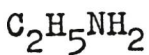
(2)

Collins F.

Bull. Soc. Chim.

Belg., 1953, 62,

411-27



(V)

5185

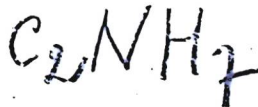
1953

Rannenbaum E., Coffin B.M.,
Harrison A.Y.

J. Chem. Phys., 1953, 21, N 2, 311-
318 (~~1953~~)

The far ultraviolet absorption
spectra of simple alkyl amines

PK., 1954, N 1,
10160



10

1728

CH_3NH_2 , $(\text{CH}_3)_2\text{NH}$, $(\text{CH}_3)_3\text{N}$ (J_i)¹⁹⁵⁴

Hadni A.

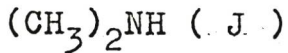
J.phys.et radium, 1954, 15, N 5,
375-376 ()

Filtres pour l'infrarouge
lointain et ...



PX., 1955, 5175

W



846

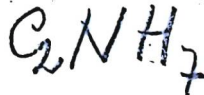
1956

Baba H., Omura J., Higasi K.,

Bull. Chem. Japan, 1956, 29, N 4,
504-507

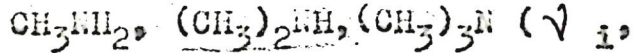
Низационные потенциалы некоторых ...

РХ., 1957, № 6, 18131



10,μ

1749

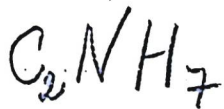


1956
СИЛ. ПОСТ.)

Barceló J.R., Bellanato J.,

Spectrochim. acta, 1956, 8, N 1,
27-40 (англ.)

К изучению спектров метильных ...



РХ., 1957, II 23, 73704

10

$C_2H_5NH_2$

H. Hurzeler, Mark G.

1958

Tughrum; J.S. Morrison.

1137

(J.P)

"J. Chem. Phys"

1958, 28, n^t, 76-82.

B9-56-III' IV-7512 1959
 $(C_2H_5)_2NH_2$ (J)

Collin J.,
Canad.J.Chem., 1959, 37, B 6,
1053-1055 (анн.)



Потенциалы ионизации метиламинов и
этиламинов, определенные методом электрон-
ного удара

РХ., 1959, B 24, 84806

Борть Ф. К.

10 М

$\text{V}_{\text{1}}, \text{U}_{\text{0}}$ M 1090
 $(\text{CH}_3)_2\text{SiH}_2$, $(\text{CH}_3)_3\text{SiH}$, $(\text{CH}_3)_2\text{O}$,
 $(\text{CH}_3)_2\text{S}$, $(\text{CH}_3)_2\text{NH}$, $(\text{CH}_3)_2\text{ND}$, $(\text{CH}_3)_3\text{N}$

1962

Fateley W.G., Miller F.A.,

Spectrochim. acta, 1962, 18, N 7, 977-993
Torsional frequencies in the far
infrared. II. Molecules with two or three
methyl rotars

PX., 1966, 175172

J

$\text{C}_2\text{H}_4\text{N}$

F

1962

L- 8577

$(\text{CH}_3)_2\text{NH}$, $(\text{CH}_3)_2\text{NNH}_2$, CH_3CN (Vij)

Pannetier G., Marsigny L., Gaydon A.G.,
Bremond M.

J. Chim-phys. et phys.-chim.biol.,
1962, 59, N 6, 568-577

Identification de ...

J

1963

$(CH_3)_2 NH$ Laurie V.W., Wallraff J.E.
 Bull. Am. Phys. Soc., 1963, 8, 327
 Bipyrid. It is ~~an~~ a rubbery substance
 nigr. cc. sec/sec

| | A | B | C | Turb. |
|----------------|---------|---------|---------|--------|
| $(CH_3)_2 NH$ | 34242,8 | 9334,57 | 8216,65 | 1323,1 |
| $(CH_3)_2 ND$ | 30228,2 | 9279,46 | 8006,85 | 53,9 |
| $CH_3 CO_2 NH$ | 27924,2 | 8039,05 | 3183,59 | 1202,3 |

bipyrid. nigr. 3,2 kcal/mole

1963

M 1242

M.M. $(\text{CH}_3)_2\text{O}$, $(\text{CH}_3)_2\text{S}$, $(\text{CH}_3)_2\text{NH}$,
 $(\text{CH}_3)_2\text{ND}$, CH_3OCD_3 , CH_3SCD_3)

Perchard J.-P.

These doct-ingr.Fac.sci.Univ.Paris, 1963,
Luisant-Chartres, 1965, 36p
Contribution à l'étude par spectroscopic
infrarouge de quelques molécules gem-
diméthyles $(\text{CH}_3)_2\text{O}$, $(\text{CH}_3)_2\text{S}$, $(\text{CH}_3)_2\text{NH}$,

PF., 1967, 1D231D J

 $\text{C}_2\text{H}_7\text{N}$

$(\text{CH}_3)_2 \text{NH}^{\text{M}^{44}-\frac{1}{2}}$, $(\text{CH}_3)_2 \text{ND}^{\frac{1}{2}}$ (ν_6 , ν_0 , 1964.

$\gamma_A, \gamma_B, \gamma_C$)

Perchard J.P., Forel M.T., Josien M.d.,

J. Chim. Phys., 1964, 61(5), 652-9.

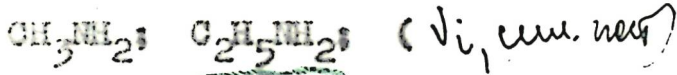
III. Spectra of the dimethylamines.

$(\text{CH}_3)_2 \text{NH}$ and  $(\text{CH}_3)_2 \text{ND}$.

10 / 1000 1000 / ICA, 1964, 61, 69, 10188d

М-445

1964



Яковлев И.Н., Шейкер Ю.Н., Попов Е.М.
"Тр. Комисс. по спектроскопии АН
СССР", 1964, т. 3, вып. I, 10-18

Расчет нормальных колебаний метил-
амина

з

PP, 1965, 11 96

$\text{C}_2\text{H}_5\text{NH}_2$

$(\text{CH}_3)_2\text{NH}$

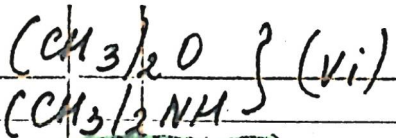
1965

Infrared spectra and vibrational assignments in dimethylamines. M. J. Buttler and D. C. McKean (Univ. Aberdeen, Scot.). *Spectrochim. Acta* 21(3), 465-83(1965)(Eng). Ir spectra were obtained in the gaseous state and in glassy and cryst. phases at 78°K. for $(\text{CH}_3)_2^{14}\text{NH}$ and $(\text{CH}_3)_2^{14}\text{ND}$ between 3400 and 700 cm^{-1} . Some ir data were also obtained in the region below 1600 cm^{-1} for $(\text{CH}_3)_2^{15}\text{NH}$. The a'' NH bending mode is located in the crystal at 1525 cm^{-1} . It is not yet possible to identify the Me stretching and deformation modes, but the remaining vibrations can be satisfactorily assigned in the crystal spectra. The mols. in the crystal are H bonded and the a' NH bend is split into a wide doublet at 893 and 867 cm^{-1} . The NH stretching band, though broad, is apparently not split. The $^{14}\text{N}-^{15}\text{N}$ frequency shifts are discussed. They do not provide an easy means of distinguishing vibration frequencies which are predominantly CN stretching modes.

RCSQ

C_2NH_7

C.A. 1965.62.8
8524A-8528a

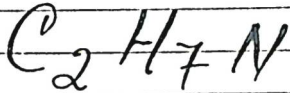


1965

M1262

Chalmers et al., McKean D.C.,
Spectrochim. Acta, 1965, 21,
N 8, 1387-89

10



1965

M740

H₂O, CH₃OH, CH₃OCH₃, HCHO, CHOONH, CH₃COOH,
NH₃, CH₃NH₂, (CH₃)₂NH; (A)

Munson M.S.R.

J. Amer. Chem. Soc., 1965, 82, N 11,
2332-2336

Proton affinities and the methyl... . . .

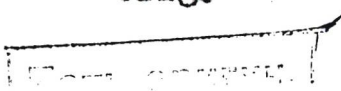
J.

PK, 1966, 3 55



J

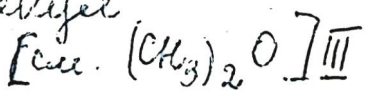
orig.



$(CH_3)_2 NH$ Perchard J.-P. 1965

$(CH_3)_2 N$ These doct. - ingr. Fac. sci.
(UK - Univ. Paris 1963, Université
manuscript) Charles, 1965, 36 p.

$C_2N H_7$ Ureaoguanine - UG - ureidophenyl
hexamopterin - Guanidine upolype-
tides no - never gel



$(\text{CH}_3)_2\text{NH}$

1965

Microwave studies of diethylamine. James Edward Wollrab
(Stanford Univ., Stanfod, Calif.). *Univ. Microfilms* (Ann Arbor,
Mich.), Order No. 65-6361, 202 pp.; *Dissertation Abstr.*
26(1), 123(1965)(Eng).
SND

C_2NH_7

C.A. 1965-63-12
16165fg

$C_2H_5NH_2$

1967

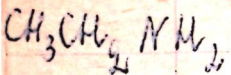
M. b, Cwup

82879j Microwave spectra of ethylamine molecule. D. K. Ghosh, A. Chatterjee, and A. K. Saha (Saha Inst. Nucl. Phys., Calcutta). *Indian J. Phys.* 41(6), 467-9(1967)(Eng). Over 60 microwave absorption lines of the asym. rotor $C_2H_5NH_2$ have been measured between 18.5 and 26.0 Gc. and their Stark effects have been detd. The large no. of observed lines is attributed to splitting due to both internal rotation in the mol. and to inversion doubling.

E. O. Forster

C.A 1968.68.18

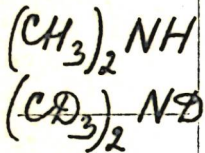
1967



5 Д371. Микроволновой спектр молекулы этиламина.
 Ghosh D. K., Chatterjee A., Saha A. K. Microwa-
 ve spectra of ethylamine molecule. «Indian J. Phys.», 1967,
 41, № 6, 467—469 (англ.)

Измерен микроволновой спектр поглощения этиламина в
 области 18,5—26,0 кМгц. Приведены таблицы частот с
 указанием относит. интенсивностей полос и порядка
 штарковского расщепления. Большое число линий в спек-
 тре может быть связано с расщеплением за счет внутрен-
 него вращения или инверсионного удвоения. Э. В. Б.

Ф. 1968 - 58



Moeller K.D. in 1967
J. Chem. Phys., 47(8),
2609.

Far-infrared torsional
vibration spectra of
one-, two-, and three-
 (CX_3) top molecules.

(all. $\text{C}_2\text{H}_5\text{Cl}$) III

1968

$(\text{CH}_3)_2\text{NHe}$

7322k Electron diffraction study of gaseous dimethylamine and trimethylamine. Beagley, Brian; Hewitt, T. G. (Univ. Glasgow, Glasgow, Scot.). *Trans. Faraday Soc.* 1968, 64(10), 2561-70 (Eng). The mol. structures of dimethylamine and trimethylamine in the gas phase have been detd. accurately by electron diffraction. The C-N bond lengths in the two mols. are equal (1.455; reproducibility 0.002 Å.). This value is 0.010 Å. less than that obtained by Bartell in methylamine. The C-N-C angles are 111.8 and 110.6°, resp. (reproducibilities 0.6°).

RCTD

C-N

LCNC

+1

C.A. 1969-70-2



$(\text{CH}_3)_2\text{NH}$

1968

9 Б99. Электронографическое изучение газообразных диметиламина и триметиламина. Beagley B., Hewitt T. G. Electron diffraction study of gaseous dimethylamine and trimethylamine. «Trans. Faraday Soc.», 1968, 64, № 10, 2561—2570 (англ.)

Методом газовой электронографии исследовано строение молекул $(\text{CH}_3)_2\text{NH}$ (I) и $(\text{CH}_3)_3\text{N}$ (II) по кривым $\Delta M(s)$. При расшифровке структуры I сделаны следующие предположения: молекула имеет симметрию $C_s(m)$ связь N—H лежит в плоскости, образованной атомами углеродов и азота, конформация метильных групп друг относительно друга скошенная. Найдены следующие значения межъядерных расстояний, амплитуд и

Сибирский Урал

X. 1969. 9

+1

☒

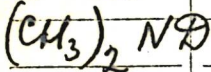
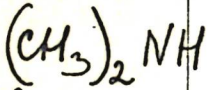
углов: (V—H $1,00 \pm 0,02$, $0,05 \pm 0,02$, C—H $1,106 \pm 0,003$,
 $0,075 \pm 0,004$, C—N $1,455 \pm 0,002$, $0,046 \pm 0,001$, C...H(N)
 $1,99 \pm 0,02$, $0,05 \pm 0,02$, N...H(C) $2,133 \pm 0,006$,
 $0,090 \pm 0,006$, C...C $2,411 \pm 0,006$, $0,074 \pm 0,005$
C...H(C) $2,703$, $0,13 \pm 0,01$, C...H C $3,386$, $0,14 \pm 0,03$
(H в плоскости CNC), LCNC $111,8 \pm 0,6^\circ$, LCNH $107,0 \pm$
 $\pm 2^\circ$. LHCH $106,8 \pm 0,8$ NCH $112,0 \pm 0,8$. При расшиф-
ровке II сделано предположение, что молекула обла-
дает симметрией C_{3v} . Найдены следующие значения
межъядерных расстояний, амплитуд и углов: C—H
 $1,111 \pm 0,005$, $0,081 \pm 0,005$, C—N $1,454 \pm 0,002$ $0,45 \pm$
 $\pm 0,003$, N...H(C) $2,107 \pm 0,011$, $0,097 \pm 0,010$, C...C
 $2,390 \pm 0,006$, $0,059 \pm 0,006$, C...H(C) $2,645$, $0,16 \pm 0,02$,
C...H(C) $3,356$, $0,10 \pm 0,03$.

И. Ронова

1968

 CH_3NHCH_3 Dellepiane G.,
Zerbi G.Z. Naturforsch., d. 3a, n° 10,
166 f.

Gregeue assimilatibz
 Kocedaseum assimilatium
 Ltr. u. gicenuealle
 leas.
 (see. CH_3NH_2) III



Di,
суб. носн.

Dellepiave G., Zerbi G. [1988]

J. Chem. Phys., 48, N8, 3573.

Использование нормаль-
ных изогипсий для
определения последователь-
ности. 7. Фундаментальные -
ные коэффициенты простран-
ственного изогипса ами-
нов! $(\text{суб. } \text{CH}_3\text{ NH}_2)_{14}$

1968

C₂H₅NH₂

Tsuboi H. u gr

Di;

V₀

Nippon Kagaku
Kaishi, 1968, 89, n9,
82f



[Cu. CH₃NH₂] II

ХIV - 9790

1968

(CH₃)₂NH

8 Б221. Микроволновый спектр диметиламина. Wohlrab James E., Laurigie Victor W. Microwave spectrum of dimethylamine. «J. Chem. Phys.», 1968, 48, № 11, 5058—5066 (англ.)

В диапазоне 8—44 Ггц исследованы вращательные спектры 12 изотопич. разновидностей молекулы (CH₃)₂NH в основном колебательном состоянии. Идентифицировано большое число линий переходов между уровнями с небольшими значениями квантовых чисел J и π , из частот к-рых определены значения вращательных постоянных всех молекул. Измерено инверсионное расщепление Δ ряда линий и отмечена заметная зависимость величины Δ от квантовых чисел. Из величины Δ и частоты деф. кол. связи NH найден барьер инверсии $4,4 \pm 1,1$ ккал/моль, сравнимый с барьерами инверсии

степени
и.и.
структур.
известн.
паралл.

X·1969.

8

метиламина (4,8 ккал/моль) и аммиака (5,9 ккал/моль). Отмечены аномальные инверсионные расщепления ряда линий, обусловленные вращательно-инверсионным взаимодействием и снятием случайного вырождения уровней 1_{11}^- и 1_{10}^+ . Из квадрупольной СТС переходов $1_{10} \leftarrow 0_{00}$ и $1_{01} \rightarrow 1_{11}^-$ определены постоянные квадрупольной связи ядра N в 10 изотопич. молекулах, а из штарковского расщепления переходов $1_{10}^\pm \rightarrow 1_{11}^-$ и $1_{01}^\pm \rightarrow 1_{10}^\pm$ найдены компоненты дипольного момента $\mu_b = 0,295$, $\mu_c = 0,967 D$ и полный дипольный момент $\mu = 1,01 D$. Из значений вращательных постоянных вычислены структурные параметры $(CH_3)_2NH$, $CN = 1,466$, $NH = 1,022$, $CH = 1,09A$, $\angle CNC = 112,2^\circ$, $\angle HCH = 108,6^\circ$ и $\angle HNC = 108,8^\circ$.

М. Р. Алиев

$(\text{CH}_3)_2\text{NH}_2$

$\text{H}-\text{C}(\text{H}_3)-\text{C}(\text{H}_3)-\text{H}$

XIV-9990

1988

56040e) Microwave spectrum of dimethylamine. Wollrab,
James E.; Laurie, Victor W. (Stanford Univ., Stanford, Calif.).
J. Chem. Phys. 1968, 48(11), 5058-66 (Eng). Microwave spec-
tra of 12 isotopic species of dimethylamine have been assigned
for the ground vibrational state. Splittings arising from the in-
version of the amino H have been observed, and an inversion
barrier of 4.4 kcal./mole has been estd. From the rotational
consts. the structural parameters have been calcd. and the con-
formation of the methyl groups has been detd. The structural
parameters obtained are: $r(\text{CN}) = 1.466 \text{ \AA}$, $r(\text{NH}) = 1.022 \text{ \AA}$,
 $r(\text{CH}) (\text{av.}) = 1.09 \text{ \AA}$, $\angle \text{CNC} = 112.2^\circ$, $\angle \text{HCH} (\text{av.}) = 108.6^\circ$,
 $\angle \text{HNC} = 108.8^\circ$. Evidence for an asym. methyl group is dis-
cussed. The ^{14}N nuclear quadrupole coupling consts. in the
principal quadrupole axis system are $x_{zz} = 3.04 \text{ MHz.}$, $x_{yy} =$
 2.01 MHz. , and $x_{xx} = -5.05 \text{ MHz.}$, where the x axis is normal
to the symmetry plane. Anal. of the Stark effect gave a dipole
moment of 1.01 D.

RCIO

C.A. 1988. 69:14

C₂NH₇

1969

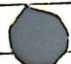
(CH₃)₂NH

Tionov E. N. upr.

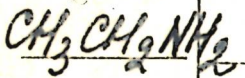
Ж. спиртн. химии,

7

1969, 10, № 6, 1119



[Cu(Al₃)₃N]⁺



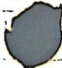
Bodor N., et al. 1940

1;
евт. восм;
3

J. Amer. Chem. Soc.,
92, 13, 3851.

Особое значение
имеет с σ -замещен
1. Радикал полученный из
одного из гомологов
некоторых производных

ио пресебрениее гено.
заречу честою! иже-
хвастаючи сочтение,
содержащие аном-
ные висяч.



$(\text{CH}_3)_2\text{NH}$

Cornford S. B. 1971

ugk.

ρθ - cuerkip

"Can. J. Chem.", 1971,

49, v7, 1135 - 1136

(Cu. CH_3NH_2) $\ddot{\text{I}}$

$(\text{CH}_3)_2$ NH

XIV-2354

1871

(47753r) Microwave spectra of the first-excited torsional states and barrier to internal rotation of dimethylamine. Wollrab, James E.; Laurie, Victor W. (McDonnell Douglas Res. Lab., McDonnell Douglas Corp., St. Louis, Mo.). *J. Chem. Phys.* 1971, 54(2), 532-9 (Eng). Rotational spectra in the 1st-excited torsional states of a no. of isotopic species of dimethylamine have been assigned. Internal rotation splittings were obsd. and have been used to calc. a barrier of 3.22 ± 0.02 kcal mole⁻¹. Inversion splittings differ significantly from those obsd. in the ground state spectra while ¹⁴N quadrupole effects are unchanged within exptl. error.

RCJQ

C.A. 1971. 44:10.

$(\text{CH}_3)_2\text{NH}$

$(\text{CH}_3)_2\text{ND}$

XIV-2354

1971

6 Д446. Микроволновые спектры и барьер внутреннего вращения диметиламина в первом возбужденном колебательном состоянии. W o l f g a b J a m e s E., L a u r i e V i c t o r W. Microwave spectra of the first-excited torsional states and barrier to internal rotation of dimethylamine. «J. Chem. Phys», 1971, 54, № 2, 532—539 (англ.)

Исследованы и отождествлены вращательные переходы в двух первых возбужденных колебательных состояниях молекул $(\text{CH}_3)_2\text{NH}$, $(\text{CH}_3)_2\text{ND}$, $\text{CD}_3(\text{CH}_3)\text{NH}$, $\text{CD}_3(\text{CH}_3)\text{ND}$, $(\text{CH}_3)_2\text{NH}$ и $(\text{CH}_3)_2\text{ND}$. Расщепление, связанное с внутренним вращением, использовано для расчета барьера

и.и.

150

90. 1971. 68

внутреннего вращения, равного $V_3 = 3233 \pm 30$ кал/моль⁻¹. Значение V_3 хорошо совпадает с данными ИК-спектроскопии. Обнаружено инверсионное расщепление, увеличивающееся с числом J в ряду $J_{0j} \rightarrow J_{1j}$. Отмечено, что расщепление $1_{01}^{\pm} \rightarrow 1_{11}^{\mp}$ -перехода больше, чем $2_{02}^{\pm} \rightarrow 2_{12}^{\pm}$ -перехода. Найдены постоянные квадрупольного взаимодействия.

Г. П

$(CH_3)_2$

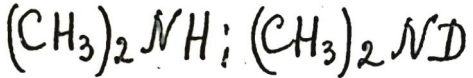
VH

1872

119447k Low-temperature infrared study of association in dissolved dimethylamine. Bernard-Houplain, Marie C.; Sandorfy, C. (Dep. Chim., Univ. Montréal, Montréal, Que.). *J. Chem. Phys.* 1972, 56(7), 3412-17 (Eng). The fundamental, 1st, and 2nd overtone of the NH stretching vibration of Me_2NH were measured at temps. ranging from 22 to -190° , in solvents forming rigid glasses at low temps. The self-assocn. of Me_2NH was examd. At room temp: only monomers and dimers were found, while at low temp. a more highly assocd. species was also obsd. The overtones of the dimer were obsd. at low temps. and lead to normal anharmonicities.

W. cuedo

C.A. 1872.76.20



1973

13 Б178. И инфракрасные спектры и спектры комбинационного рассеяния вторичных газообразных алифатических аминов $(\text{CH}_3)_2\text{NH}$, $(\text{CH}_3)_2\text{ND}$, $(\text{C}_2\text{H}_5)_2\text{NH}$ и $\text{C}_2\text{H}_5\text{NHCH}_3$. Гамер Г., Уотти Н. Raman and infrared spectra of gaseous secondary aliphatic amines [$(\text{CH}_3)_2\text{NH}$, $(\text{CH}_3)_2\text{ND}$, $(\text{C}_2\text{H}_5)_2\text{NH}$ and $\text{C}_2\text{H}_5\text{NHCH}_3$]. «Spectrochim. acta», 1973, A29, № 1, 129—137 (англ.)

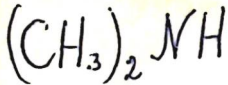
Измерены ИК-(4000—200 см^{-1}) и КР-спектры Me_2NH (I), Me_2ND (II), Et_2NH (III) и EtMeNH (IV) в газовой фазе (ИК- с высоким разрешением — спектральная ширина щели до 0,4 см^{-1}). Предложено отнесение колебаний I—IV. Эксперим. значения частот I и II согласуются с величинами, рассчитанными ранее в приближении валентно-силового поля. Показано, что на вал.

X. 1973. № 13

+2
8

кол. NH не влияют др. колебания. Отнесение колебаний III и IV основано на колебательном анализе алканов Снайдера и Шахтишнейдера и на сравнении со спектрами диэтилового эфира, I и II. Расщепление $\nu(\text{NH})$ в спектре КР газа III связано с поворотной изомерией — транс-транс (3328) и транс-гош (3352 cm^{-1}) формами. В ИК-спектре такого расщепления не наблюдается (широкая полоса 3340 cm^{-1}). Для IV расщепление $\nu(\text{NH})$ наблюдается в ИК-спектре (3350 и 3378 cm^{-1}). Частоты деф. кол. аминогруппы в IV имеют промежут. значения между соотв. величинами в I и III.

Е. Разумова



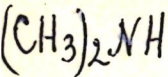
1973

77565f Raman and infrared spectra of gaseous secondary aliphatic amines [dimethylamine, dimethylamine-d₁, diethylamine, and ethylmethylamine]. Gamer, G.; Wolff, H. (Phys.-Chem. Inst., Univ. Heidelberg, Heidelberg, Ger.). *Spectrochim. Acta, Part A* 1973, 29(1), 129-37 (Eng). Improved knowledge of the vibrational frequencies of gaseous secondary aliph. amines was obtained by means of Raman and ir spectra, the latter with improved resoln. Better assignments of the CH deformation and CH stretching vibrations of gaseous Me₂NH and Me₂NO are given. The NH stretching vibration of gaseous Me₂NH hitherto insufficiently known due to its low ir intensity, was detd. unaffected by superposition of other vibrations. The splitting of the NH stretching vibration of gaseous Et₂NH due to rotational isomerism is smaller than previously assumed. It was detected only in the Raman spectrum. The band splitting for gaseous EtMeNH was obsd. in the ir spectrum.

C. A. 1973. 78 n 12



1973



6 Д348. ИК-спектры и спектры комбинационного рассеяния газообразных вторичных алифатических аминов $[(CH_3)_2NH, (CH_3)_2ND, (C_2H_5)_2NH$ и $C_2H_5NHCH_3]$. Гамет Г., Волг Г. Raman and infrared spectra of gaseous secondary aliphatic amines $[(CH_3)_2NH, (CH_3)_2ND, (C_2H_5)_2NH$ and $C_2H_5NHCH_3]$. «Spectrochim. acta», 1973, A29, № 1, 129—137 (англ.)

Получены ИК-спектры поглощения и спектры комб. рас. газообразных диметил-, диэтил-, метилэтиламина в области $350—3500\text{ см}^{-1}$. По отношению интенсивностей полос поглощения и рассеяния и контурам ИК-полос с неразрешенной структурой произведено их отнесение к основным и составным колебаниям и обертонам. В спектрах аминов с этильной группой наблюдаются полосы, отнесенные к разным поворотным изомерам.
Библ. 14.

М. В. Тонков

φ. 1973. № 6

+3



C₂H₅NH₂

1973

Katsumato Shunji, et al.
"Bull. Chem. Soc. Jap."
1973, 46, NII , 339I- 95.

check for v_i



[corr. CH₃NH₂; III]

$C_2H_5NH_2$

, 1973

Ляст И.Д.

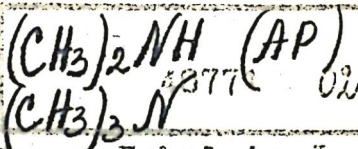
"Экспр. структур. химии" 1973, №2, 340-344

Экспр.
структур.

(см. NH_3 ; III)

41004.1802

Ex-C, Ph, TC, Gh



43771-02

1974

2537

Davis D., William, Rabalais J., Wayne. Model for proton affinities and inner-shell electron binding energies based on the Hellmann-Feynman theorem.

"J. Amer. Chem. Soc.", 1974, 96, N. 17,

5305-5310

(анл.)

0205 ник

175 178 0 197

ВИНИТИ

C2H5NH2

1974

8Д500. Расчет кривой инфракрасного спектра поглощения этиламина. Грибов Л. А., Носкова М. П., Крупеникова И. Н. «Оптика и спектроскопия», 1974, 36, № 4, 801—803

Произведен расчет ИК-поглощения газообразного этиламина. Частоты, формы колебания и интенсивности рассчитаны для 2 конформаций молекулы по известным из литературы структурным параметрам, которые при расчете были незначительно изменены. Полуширины полос оценены по эксперим. спектру. Сравнение с эксперим. данными позволяет сделать однозначный выбор модели. Частоты конформеров мало отличаются, а различия в интенсивностях велики, что подтверждает преимущество использования интенсивности ИК-полос по сравнению с частотами при конформационном анализе. Приведены силовые постоянные и электрооптические параметры этиламина. Библ. 11.

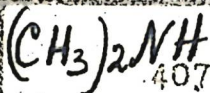
М. В. Тонков

1974 год

1974 N8

41004, 1801

Ch, Br-Ch, Tc



40771

09

1974

2535

Martin, R., J., Shirley, D.A., The relation
of core-level binding energy shifts to
proton affinity and Lewis basicity.

"J. Amer. Chem. Soc.", 1974, 96, N 17,
5299-5304

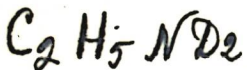
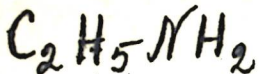
(анн.)

8205 ГИК

115 118 0 10 5

БИБЛИОГР

1974



138906h Gauche-trans rotational isomerism in ethylamine.
 Far-infrared spectra of ethylamine-d₂. Manocha, A. S.; Tuazon
 E. C.; Fateley, W. G. (Dep. Chem., Carnegie-Mellon Univ.,
 Pittsburgh, Pa.). *J. Phys. Chem.* 1974, 78(8), 803-7 (Eng).
 The gauche-trans rotational isomerism of EtNH₂ in the vapor
 phase was studied by an anal. of the far-ir spectra of EtND₂ and
CH₃CD₂ND₂. The potential function for internal rotation about
 the C-N bond, derived through a 1-dimensional approxn., is

$$2V(\alpha) = -303.2(1 - \cos \alpha) + 184.4(1 - \cos 2\alpha) + 734.7(1 - \cos 3\alpha) - 19.3(1 - \cos 6\alpha) \text{ cm}^{-1}$$
. The difference between the
 potential energy min. of the gauche and trans conformations is

$$104 \text{ cm}^{-1}$$
, the gauche being the more stable form.

M.H., CTphys.
 U.K. cwksp.

C.A.1974. 80. N24

+1

505191.2502

90978(дн. струк) 1974

Ch, TC

C2H5NH2 № 13-8958

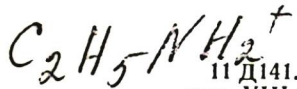
Фрагмент спектр

Такута Shigeto, Harada Katsuori, Yoshihara
 Kenji, Shiokawa Takanobu. Application
 of molecular orbital calculation to
 fragment ionization processes in ethanol
 and ethylamine. "Спектр бунсэки,
 Mass Spectrosc.", 1974, 22, N4, 239-244
 (англ.)

348

353

0361 пик винити



1974

11 Д141. Электронное строение ионизованных молекул. VIII. Этиламин. Krieg C., Lorguet J. C., Wellington A. The electronic structure of ionised molecules. VIII. Ethylamine. «Org. Mass Spectrom.», 1974, 8, Jan., 387—401 (англ.)

Методом ССП МО ЛКАО в валентном приближении ППДП/2 и модифицированным ППДП Фишера — Кольмара исследовано электронное строение катиона $\text{C}_2\text{H}_5\text{NH}_2^+$ (I). Рассчитаны потенц. кривые для разрыва связей CC и CN и на основе полученных результатов подробно обсужден механизм фрагментации I в масс-спектрометре. Исследованы соответствующие перераспределения электронной плотности. Оба метода расчета приводят к выводу о близости силовых постоянных вал. кол. связей CC и CN в I. Потенц. барьеры разрыва связей CC и CN оценены в 1,6 и 1,8 эв соответственно.

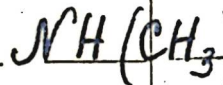
Электр.
спектр.
расчет
по методу
первой
приблиз.

ф. 1976 № 11

(эксперим. значения 0,9 и 4,2). Такое неудовлетворительное количественное согласие отнесено на счет плохой параметризации схемы Фишера — Кольмара (по ППДП/2 расчет не проводился). Полученные результаты сопоставлены с данными исследований в рамках принятой в органич. химии модели, оперирующей резонансными структурами, а также моделью Хирота, связывающей вероятность разрыва той или иной связи с электронной плотностью (ЭП) на данной связи, принимаемой равной ЭП высшей занятой МО нейтральной молекулы на данной связи. Детальный анализ распределения ЭП в I показал, что модель Хирота неверно передает это распределение, что обусловлено как рассмотрением только одной МО, так и некорректным переносом результатов с нейтральной молекулы на ион.

В. Л.

1974



Бобина В.И.

Бицеков Ф.И.

(2)

"Оптимика и спектроскопия"
1974, 36, №2, 436-38.



(см. NH_2CH_3 ; III)

11 Б264. Спектры комбинационного рассеяния газов.

XVIII. Внутреннее вращение в этил-амине и этилами-
не- d_2 . Durig J. R., Li Y. S. Raman spectra of gases.

XVIII. Internal rotational motions in ethylamine and
ethylamine- d_2 . «J. Chem. Phys.», 1975, 63, № 10, 4110—

4113 (англ.)

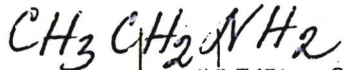
Получены спектры КР газ. EtNH_2 (I) и EtND_2 (II)
в области 100—600 см⁻¹. В I переход 1→0 внутренне-
го вращения наблюдается при 258 см⁻¹, а 2←1 при
248 см⁻¹. Обе линии поляризованы, это означает, что
I имеет гош-конфигурацию (симметрия C_1). Вычислена
высота барьера $V=3,71$ ккал/моль, однако, при такой
высоте переход 2←1 должен иметь частоту на 7 см⁻¹
меньшую, чем наблюдаемая. Это объясняется взаимо-
действием торсионных колебаний C—C и C—N. Для II
наблюдаются линии 250, 234, 216, 189 и 193 см⁻¹, к-рые
отнесены к переходам 1<—0, 2<—1, 3<—2, 4A<—3A
и 4E<—3E, соотв. Наблюдается линия 484 см⁻¹, обу-
словленная переходом 2<—0. II также имеет гош-струку-
туру. Высота барьера $V_3=3,591$ ккал/моль и $V_6=$
=1 ккал/моль. Исходя из потенц. функции для II пред-
сказано значение частоты внутреннего вращения в
 $\text{CH}_3\text{CD}_2\text{ND}_2$. Получено хорошее согласие с лит. дан-
ными. Обсуждаются различия в отнесении авторов и
имеющегося в лит-ре для транс-I. Сообщ. XVII см.
РЖХим, 1976, 7Б271.

Б. Г. Антипов

1975

11-10899

х 1976
н 11



KS-10 891 1975

115 Д471. Спектры комбинационного рассеяния газов. Ч. XVIII. Вращательные состояния в этиламине этиламине- d_2 . Durig J. R., Li Y. S. Raman spectra of gases. XVIII. Internal rotational motions in ethylamine and ethylamine- d_2 . «J. Chem. Phys.», 1975, 63, № 10, 4110–4113 (англ.)

спектры

Получены спектры комб. рас. (100 – 600 см^{-1}) газообразного этиламина (I) и его дейтеропроизводного (I- d_2) при возбуждении излучением 514,5 им аргонового лазера мощностью 2,5 вт. Зарегистрированы крутильные колебания метильной и аминной групп для основного и возбужденного состояний гошизомеров I и I- d_2 , а также обертоны крутильных колебаний ме-

K. P.

(и. н.)

φ. 1976, N5.

тильной группы. Вычисленные барьеры внутреннего вращения метильной группы I и I-d₂ составляют 3,71 и 3,59 ккал/моль соответственно. Предположено, что различие высоты барьеров обусловлено неодинаковым взаимодействием метильного и аминного вращательных движений. Определены константы потенц. ф-ции внутреннего вращения вокруг связи C—N в I-d₂: $V_1=279 \text{ см}^{-1}$, $V_3=707 \text{ см}^{-1}$ и $V_6=-12 \text{ см}^{-1}$. Показано, что трансконфигурация I-d₂ более стабильна, причем минимум потенц. кривой гошизомера расположен на 207 см^{-1} выше. Барьеры гошгош- и трансгошизомеризации I-d₂ равны 779 и 572 см^{-1} . Библ. 17. И. В. А.

C₂H₅NH₂

1975

Goetz Rainer.

(P)

Finn Chem Lett 1975,
(7-8) 204-7 (6cc)

(in C₂H₅OH; I)

51211.2505

Ch, TC

99978

1975

CH3CH2NH2 *

У-10587

Ichikawa Hiroshi, Ogata Michihiko.

Potential energy curves of dissociation
and changes of unpaired electron in the
C-N and C-C cleavages of the ground-state
ethylamine ion. " Сицурё бунсэки,
Mass. Spectroso^г", 1975, 23, N 2, 157-160

(АНГЛ.)

Б481

0 4 9 0

У507 пик ВИНИТИ

50613.1882

TC, Ph, Ch

$(CH_3)_2NH$ (γ)
30526GR

1975

x 3-8988

Kimura_Katsumi, Osafune Kazuteru. Sum rule consideration on valence orbital ionization energies in methyl amines.

"Mol. Phys.", 1975, 29, № 4, 1073-1083

(см.: CH_3NH_2 ; III)

~~U3B5~~ пик (англ.)

353 354

п

ВИНИТИ

51215.6779

Ch, Ph, TC

(И. К. и Рашан ешт.) 1975
54997 GR

H₃CNHCH₃ 84-10903

Hamada Keinosuke, Morishita Hirofumi.

The vibrational spectra and structures

of H₃C-X-CH₃ (X=O, CH₂, NH). "Z. Phys.

Chem." (BRD), 1975, 97, N 5-6, 295-299

(англ., рез. нем.)

0524

480 494

5 15

ВИНИТИ

$(\text{CH}_3)_2 \text{NH}$

1976

Elbel, S., et al.

Z. Naturforsch. 1976,
31b, N2, 178-89

(f)



$(\text{C}_2\text{H}_5\text{CH}_3\text{PF}_3)$ III

CH₃CH₂NH₂ [Lett. 3710] 1975

6 Д408. Внутреннее вращение в этиламине: интерпретация с точки зрения задачи 2 волчков. Tsuboi Masamichi, Tamagake Keietsu, Hirakawa Akiko Y., Manocha A. S., Tuazon E. C., Fateley W. G. Internal rotation in ethylamine: . a treatment as a two-top problem. «J. Chem. Phys.», 1975, 63, № 12, 5177—5189 (англ.)

(110)

Получены спектры ИК-поглощения газообразных этиламинов различного изотопного состава по водороду при давл. 120—170 мм рт. ст. в слое 10 см в области 100—300 см⁻¹. Приведены спектры, частоты и отнесение наблюденных полос к крутильным колебаниям метильных групп молекул-изомеров, отличающихся ориентацией аминогруппы. Для гошформы наблюдено удвоение линий, связанное с расщеплением уровней двух эквив. положений за счет туннельного эффекта. Развита теория для внутреннего вращения молекул, содержащих два связанных асимметричных

Р 1976 № 6

волчка. Определена система координат, получено выражение для кинетич. энергии и гамильтониана, рассчитаны уровни энергии, матричные элементы дипольного момента и интенсивности линий, соответствующих внутреннему вращению. По наблюденным частотам построена схема энергетич. уровней. Определены параметры потенциала внутреннего вращения и константы взаимодействия волчков. Разница в миним. энергиях транс- и гошизомера составляет 230 см^{-1} , более устойчивому изомеру отвечает трансформа. Ось внутреннего вращения аминогруппы составляет угол $4,5^\circ$ с осью N—C-связи. Библ. 9.

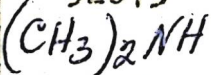
М. В. Тонков

адис

60720-7547

Ph, Ch, TG

92073



1976

Ху-13607

Ohkubo Katsutoshi, Azuma Yutaka,
 Okada Masahide. A MNDO/2'-MO study of
 the inversion barriers of some molecules
 involving first-row atoms. "Bull. Chem.
 Soc. Jap.", 1976, 49, N 5, 1397-1398

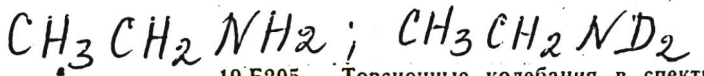
(АНГЛ.)

646 646

654

0662 ПМК

ВИНИТИ



1976

19 Б205. Торсионные колебания в спектрах комбинационного рассеяния этиламинов. Manocha A. S., Fateley W. G. Torsional Raman spectra of ethylamines. «J. Raman Spectrosc.», 1976, 4, № 3, 227—229 (англ.)

Получены спектры КР газ. $\text{CH}_3\text{CH}_2\text{NH}_2$ (I) и $\text{CH}_3\text{CH}_2\text{ND}_2$ (II) (давл. 55—700 мм) в области торсионных колебаний NH_2^- и CH_3 -групп ~ 200 — 250 см^{-1} (140 — 190 см^{-1} для дейтерированных образцов). Поляризации измерения в спектрах, а также сравнение со спектрами поглощения в длинноволновой ИК-области, показало, что в спектрах КР проявляются торсионные колебания только гош-изомеров (интенсивность неполносимм. колебаний транс-изомера мала). Произведено отнесение линий к различным типам переходов v_{NH} , v_{CH} , $\leftarrow v_{\text{NC}}$, v_{CH} (в спектрах наблюдаются и «горячие» переходы). Наряду с торсионными колебаниями NH_2 , ND_2 и CH_3 -групп в спектрах II проявляется также торсионное колебание NHD-группы с частотой $\sim 191.0 \text{ см}^{-1}$.

А. Бобров

(V_i)

БР - 4351-1317/ХИС

X. 1976, 19

C₂H₅NH₂

~~ФХС~~ 48-13171

1976

B92 - 7351-XIV

9 Д311. Крутильные спектры комбинационного рас-
сения этиламинов. Мапocha A. S., Fateley W. G.
Torsional Raman spectra of ethylamines. «J. Raman
Spectrosc.», 1976, 4, № 3, 227—229 (англ.)

В сравнении с ИК-спектрами поглощения изучены
спектры комб. рас. ($120\text{---}300\text{ см}^{-1}$) газообразных
 $\text{C}_2\text{H}_5\text{NH}_2$ и $\text{C}_2\text{H}_5\text{ND}_2$ при давл. до 700 мм рт. ст.
Опождествлены частоты различных крутильных колеба-
ний вращательных изомеров. Значения частот крутиль-
ных колебаний NHD найдены равными 206 см^{-1} для
транс- и 191 см^{-1} для гоши-конформаций. Библ. 4.

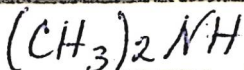
С. Ф. Б.

И. К. спектр

Ф 1976 № 9

60719.1991

TC, Ch



40771 (2c)

1976

X5-13548

Skaagup Steen, Griffin Lawrence L.,
Boggs James E. Ab initio calculation of
structure and inversion di difluoramine
and dimethylamine.

"J. Amer. Chem. Soc.", 1976, 98, N 11,
3140-3143 (англ.)

(см. F₂NH, II)

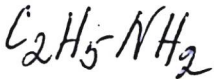
0659 ник

629 635

6511

ВИНИТИ

1976



3 Д92. Применение теории возмущений ССП к молекулярным расчетам. Sant'gy David P. Application of SCF perturbation theory to molecular calculations. «Theor. chim. acta», 1976, 42, № 1, 67—75 (англ.)

Самосогласованная теория возмущений применена для построения приближенного решения ур-ний метода ССП МО ЛКАО для молекулярной системы. Существенно используется валентное приближение ППДП/2 и предположение, что базис содержит только 1s-АО атомов Н и по 4 (гибридных) sp -АО остальных атомов. Начальное приближение соответствует картине локализованных электронных пар (связей и неподеленных пар), причем в гамильтониане нулевого приближения учтено поляризационное электростатич. взаимодействие между локализованными парами. В качестве иллюстрации проведены расчеты потенц. кривой внутреннего вращения в пропане, электронного строения молекул C_2H_5X , $X=NH_2$, OH, F. Результаты сопоставлены с данными прямого расчета ССП для соответствующих

Экспр.
страсн.

Ф. 1977
№ 3

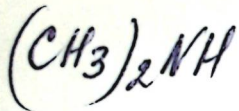


молекул. Сделан вывод, что при учете членов до 3 порядка включительно предложенная методика обладает достаточной точностью и может быть использована для количеств. исследования электронного строения молекул.

А. Багатурьянц

((ица
B

1977



10 Б39. Полная оптимизация геометрии молекул нитросоединений в приближении ППДП/2. Белик А. В., Шляпochников В. А. «Изв. АН СССР. Сер. хим.», 1977, № 12, 2798—2800

CH_3NO_2 $(CH_3)_2NH$

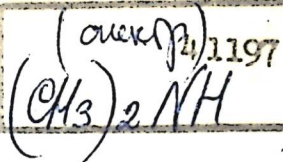
На примере молекул нитрометана, нитрамида и метилнитрамина показаны возможности использования метода ППДП/2 для расчета геометрич. параметров соединений в газовой фазе. Даю краткое обсуждение метода оптимизации и отмечены значит. «неточности» метода в оценке величин длин валентных связей. Проведено сопоставление полученных результатов с известными эксперим. данными и результатами расчетов в др. приближениях. Метод ППДП/2 рекомендован для оценки конформаций и расчета валентных углов в молекулах нитросоединений.

Автореферат

Молекул.
геометрия

Х. 1978, N10

70623.7380
Ch, Ph, TC



1977

* 45-18880

Durig J.R., Griffin M.G., Groner P.

Analysis of torsional spectra of molecules with two internal C_{3v} rotors. 3.
Far-infrared and gas phase raman spectra of dimethylamine-d₀, -d₃, and -d₆.

"J.Phys.Chem.", 1977, 81, N 6, 554-560 (англ.)

850 855 844 0903 ПМК ВИНИТИ
5150 844

C₂H₅-NH₂

1977

6 Д244. Исследование правил фрагментации в органической масс-спектрометрии методами МО. I. Этиламин как модельное соединение для разрыва связи в α -положении. Konishi Hideyuki, Nakata Hisao. An Examination of the Fragmentation Rules in Organic Mass Spectrometry by MO Methods. I. Ethylamine as a Model Compound for the α -Cleavage. «Сицу-ре бунсэки, Masc Spectrosc.», 1977, 25, № 3, 233—242 (англ.)

*Электрон.
строение*

Методом ССП МО ЛКАО в валентном приближении ЧПДП исследовано электронное строение этиламина $C_2H_5NH_2$ катиона $C_2H_5NH_2^+$, радикала $C_2H_5NH\cdot$ и катион-радикала $C_2H_5NH_3^+$, рассматриваемых как модельные соединения для исследования механизма разрыва связи в α -положении при масс-спектральных исследованиях. Рассчитаны распределения электронной и спиновой плотности, локализованные МО, различные индексы связей, потенциальные кривые как функции длии связей.

(+3)

Ф. 1948, № 6

зей С—С (остальные геометрич. параметры не варьировались). Обнаружено, что неспаренный электрон молекулярного иона играет существенную роль в процессе разрыва α -связи. Также важной для предсказания направления фрагментации является стабилизация переходного состояния благодаря эффектам сопряжения, для анализа которых удобно использование локализованных МО. Показано, что предложенный автором индекс связи — сумма электростатической и оставной энергий — коррелирует с вероятностью разрыва связи лучше, чем двухцентровая компонента полной энергии.

В. Л. Лебедев



$(CH_3)_2NH$ [Lammie 8089] 1978.

nonenes.

naproxen,
Paracetamol
U.K. Patent

Burig J. R., et al.

Indian J. Pat.
and Appl. Phys.
1978, 16, 385-93

$\text{NH}(\text{CH}_3)_2$

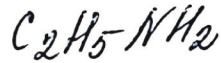
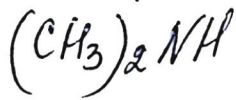
1978

Weller T., Kochman R.

Acta Chim. Acad. Sci. Hung.,
1978, 98/3), 297-302.

40
исследование

(см. NH_3 ; III)



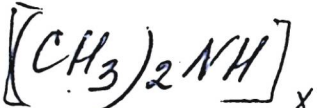
kl. ujem.
jacek,
 μ

Lomnicka 109941 1979.

Leszczyński J. et al.

Bull. Acad. polon. sci.
Sér. sci. chim., 1979, 27
(12), 951-62.





$x = \frac{1}{2}$ полимер

молекул.

сингуляр.

Lommel 8456 | 1979

Odutola J. O.; et al.

J. Amer. Chem. Soc.,
1979, 101 (17), 4787-92

1579

*C₂H₅NH₂**изб. син.
расчет*

З Б56. Электронные индексы алкильных заместителей, участвующих в региоселективном метаболическом оксилировании. Testa B., Mihailova D., Natcheva R. Electronic indices of alkyl substituents undergoing regioselective metabolic hydroxylation. «Eur. J. Med. Chem.-chim. ther.», 1979, 14, № 4, 295—299 (англ.; рез. франц., нем.)

Методом ССП МО ЛКАО в приближении ППДП/2, расширенным методом Хюккеля (PMX) и неэмпирич. методом ССП МО ЛКАО в базисах ОСТ-ЗГФ (Б1) и 4-ЗГФ (Б2) рассчитаны этиламин (I), пропиламин (II), катион II, изопропиламин, этиланилин, этилметиловый эфир (III), пропилметиловый эфир, изопропилметиловый эфир, фенетол, бутен-1 (IV), бутин-1 (V), этилбензол и пропионамид. Б2 использован только для I, III—V. Рассмотренные соединения либо участвуют сами, либо моделируют соединения, участвующие в

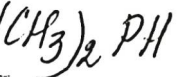
X 1980.13

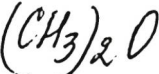
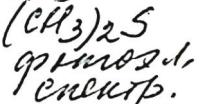
метаболич. оксилировании. Орбитальные заселенности связей C_{α} —Н, C_{β} —Н и C_{γ} —Н и заряды на соотв-щих атомах С и Н, рассчитанные различными методами, сопоставлены между собой и с эксперим. данными по региоселективности алифатич. оксилирования, катализируемого монооксигеназой. Хорошая корреляция существует между региоселективностью р-ции и орбитальными заселеностями связей С—Н. В отличие от неэмпирич. расчетов и РМХ, метод ППДП/2 не передает зависимость заряда атома С от его расстояния от атомов N, O, либо ненасыщ. атома С, в методе ППДП/2 этот заряд зависит лишь от числа геминальных атомов Н. Полученные корреляции согласуются с предложенным ранее механизмом р-ции, предполагающим внедрение по связи С—Н.

В. Фаустов

данный 10218

1980

- 
 $(CH_3)_2NH$

 $(CH_3)_2PH$


 $(CH_3)_2O$

диэтил
спектр.

2 Б100. Сродство к протону и фотоэлектронные спектры трехчленных гетероциклов. Aue Donald H., Webb Hugh M., Davidson William R., Vidal Mariano, Bowers Michael Goldwhite Harold, Vertal Lawrence E., Douglas John E., Kollman Peter A., Kenyon George L. Proton affinities and photoelectron spectra of three-membered-ring heterocycles. «J. Amer. Chem. Soc.», 1980, № 16, 5151—5157 (англ.)

Для азирана (I), фосфирана (II), оксирана (III) и тиирана (IV), а также для их диметиловых аналогов Me_2NH (Ia), Me_2PH (IIa), Me_2O (IIIa) и Me_2S (IVa) проведены измерения сродства к протону (методом ионного циклотронного резонанса) и фотоэлектронных спектров (с возбуждением источником Не-I). При интерпретации эксперим. данных использовались результаты неэмпирич. расчетов методом MO ЛКАО ССП в базисах ОСТ-3ГФ и ОСТ-4-31ГФ. Первый пик во всех спектрах отнесен к ионизации орбитали неподеленной пары; соотв.-щие вертикальные потенциалы ионизации (ПИ) равны 9,83; 9,75; 10,56 и 9,03 эВ для I—IV; 8,93; 9,10; 10,01 и 8,68 эВ для Ia—IVa. Стабилизация MO неподеленной пары в I—IV по сравнению с Ia—IVa

X. 1981 №

объяснена оттягиванием электронной плотности от атома X вследствие уменьшения угла СХС при замыкании цикла, что подтверждается неэмпирич. расчетами модельных соединений XH_4 с различными значениями валентного угла. При замыкании цикла в I и II происходит доп. стабилизация, обусловленная увеличением s -характера MO неподеленной пары азота и фосфора. Следующая MO неподеленной пары в III и IV сильно взаимодействует с σ -МО. Обсуждены изменения всех ПИ валентных орбиталей в I—IV по сравнению с Ia—IVa. Увеличением s -характера MO неподеленной пары в гетероцикле объяснено также уменьшение сродства к протону в I, III, IV на 3—5 ккал/моль. Этот механизм подтверждается анализом различных вкладов в энергию протонирования на основе модельных неэмпирич. расчетов NH_4^+ и RH_4^+ при различных углах. Значительное понижение сродства к протону для II (на 23,2 ккал/моль) объяснено сильным увеличением валентного угла при протонировании.

М. Гофман

$(CH_3)_2 NH$

1980

Jug E.

Theor. chim. acta, 1980,
57, N3, 107-30

непред
сважи (3)
имеются

corr. H₂-III

$NH(CH_3)_2$

1981

Eades R. A., et al.

стогербо
к протону
(NH_3)

J. Phys. Chem., 1981,
85, N8, 981-986.

(см. NH_3 ; I)

$\text{CH}_3\text{CH}_2\text{NH}_2$

Оттиск 13427 1982

7 Д385. Микроволновый спектр транс-этиламина.
The microwave spectrum of trans-ethylamine. Fischer E., Botskog I. «J. Mol. Spectrosc.», 1982, 91, № 1, 116—127 (англ.)

В диапазоне 15—50 ГГц исследованы микроволн. спектры молекул $\text{CH}_3\text{CH}_2\text{NH}_2$ (I), I— ND_2 и I— NHD . Идентифицированы линии вращательных переходов с $J \leq 8$ в основном колебательном состоянии, а также квадрупольная сверхтонкая структура линий. Определены значения вращательных постоянных, дипольного момента и постоянных квадрупольной связи ядра азота.

М. Р. Алиев

(+2)

$\text{CH}_3\text{CH}_2\text{NH}_2-\text{ND}_2$, $\text{CH}_3\text{CH}_2\text{NH}_2-$

оф. 1982, 18, № 7.

$-\text{NHD}$

$C_2H_5NH_2$

1982

Fleischhauer Jörg,
et al.

AH^+ ; Z. Naturforsch., 1982,
A37, N1, 46 - 50.

(crys. MNH_2 ; III)

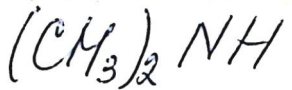
$(CH_3)_2 NH$

1982

Goddard John D.

УО. М. С. И.,
Сибирькай., Can. J. Chem., 1982,
J, DE. 60, N 10, 1250-1255.

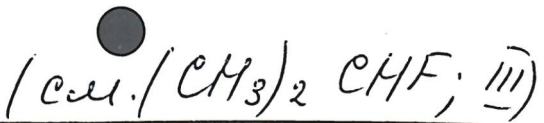
(сес. $H_2 NCH_2$; II)



1982

Wesenberg G., et al.

pacriëu Int. J. Quantum Chem.
110 1982, 21, N2, 487-509.



Этиламин
Lommel 14394 1982



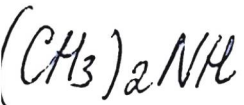
Goddard J. D.,

9, k. uex,
paerem

Can. J. Chem., 1982,
60, N10, 1250-1255.

De. nemurans

Lommel 14394 1982



Goddard J.D.,

γ, κλ. Mex.
praezem

Can. J. Chem., 1982,
60, N 10, 1250 - 1255.

$C_2H_5NH_2$

1983

7 JI227. Электронная спектроскопия с пенниговской ионизацией молекул C_2H_5X ($X=NH_2, OH, SH, Cl, I$). Реакционность орбиталей, локализованных на функциональных группах, при электрофильном воздействии метастабильных атомов гелия. Penning ionization electron spectroscopy of C_2H_5X ($X=NH_2, OH, SH, Cl, I$). Relative reactivity of orbitals localizing on functional groups upon electrophilic attack by metastable helium atoms. Ohno Kolchi, Imai Keltaro, Metsumoto Setsuo, Nagada Yoshiya. «J. Phys. Chem.», 1983, № 2, 4346—4348 (англ.)

Получены спектры кинетич. энергии электронов, образующихся при ионизации метастабильными атомами $He^*(2^3S)$ ряда производных этана C_2H_5X ($X=NH_2, OH, SH, Cl, I$). В спектрах всех соединений присутствуют интенсивные полосы, отвечающие несвязывающим орбиталям, локализованным на атомных группах X. Эти полосы содержат информацию о распределении элект-

спектр

№ 44

сб. 1984, 18, № 7

C_2H_5OH , C_2H_5SH ,
 C_2H_5Cl , C_2H_5I

ронной плотности соответствующих орбиталей. Подчеркнуто, что электронная спектроскопия с пеннинговской ионизацией позволяет наряду с изучением строения молекулярных орбиталей проводить более однозначную интерпретацию полос в фотоэлектронных спектрах.

В. А. Е.

елен.
иогс

$C_2H_5NH_2$

1983

9 Б1070. Электронные спектры пеннинговской ионизации C_2H_5X ($X=NH_2, OH, SH, Cl, J$). Относительные реакционные способности орбиталей, локализованных на функциональных группах, по отношению к электрофильной атаке метастабильных атомов гелия. Penning ionization electron spectroscopy of C_2H_5X ($X=NH_2, OH, SH, Cl, I$). Relative reactivity of orbitals localizing on functional groups upon electrophilic attack by metastable helium atoms. Ohno K., Imai K., Matsumoto S., Nagada Y. «J. Phys. Chem.», 1983, 87, № 22, 4346—4348 (англ.)

Для ряда замещенных этанов C_2H_5X ($X=NH_2, OH, SH, Cl$ и J) в газовой фазе измерены электронные спектры пеннинговской ионизации (ЭСПИ) с возбуждением метастабильными атомами Не (2^3S) и фотоэлектронные спектры (ФЭС) с возбуждением излучением Не-I. Относит. интенсивности пиков в ЭСПИ и ФЭС существенно различаются. В ЭСПИ вероятность ионизации MO при

X. 1984, 19, N 9

C_2H_5OH , C_2H_5SH , C_2H_5Cl ,
 C_2H_5J

X
ти

электрофильной атаке Не падает при переходе: 1) от несвязывающих MO к связывающим; 2) от π-MO к связывающим σ-орбиталям; 3) от MO, локализованных на атомах с меньшей электроотрицательностью, к MO, локализованным на атомах с большей электроотрицательностью. Обнаруженные закономерности согласуются с приближенным правилом отбора для ЭСПИ, сформулированным авторами ранее («J. Am. Chem. Soc.», 1983, 105, 4555): активность в ЭСПИ выше для тех MO, у к-рых велика электронная плотность на периферии молекулы. Сделан вывод, что относит. интенсивности полос в ЭСПИ соотв-щих несвязывающим орбиталям, могут служить отличительными признаками для орбиталей, локализованных на определенных функциональных группах, при аналитич. исследованиях и при отнесении ФЭС.

О. А. Басченко



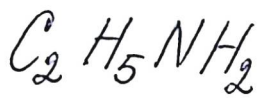
C₂H₅NH₂

1984

100: 182413a The microwave spectrum of gauche-ethylamine.
Fischer, E.; Botskor, I. (Dep. Chem., Univ. Ulm, D-7900 Ulm, Fed.
Rep. Ger.). *J. Mol. Spectrosc.* 1984, 104(2), 226-47 (Eng).
The microwave spectrum of the ground state of the normal species of
gauche-EtNH₂ and that of -NHD, -NDH, as well as -ND₂ isotopic
species were measured and assigned. The ground state splits into 4
substates due to 2 internal large amplitude motions: inversion (*s* and
a) and internal rotation (*o* and *e*) about the CN axis. Intersystem
transitions due to tunneling as well as vibrational-rotational
perturbations affect not only the absorption frequencies but also the
Stark effect and quadrupole hyperfine structure. The rotational
consts. for the 2 sym. inversion states (*s*) were fitted for the normal
species as (all values in MHz) $A^{ss} = 32,423.470 \pm 0.184$, $B^{ss} =$
 8942.086 ± 0.039 , and $C^{ss} = 7825.520 \pm 0.048$, and $A^{so} = 32,378.733 \pm$
 0.182 , $B^{so} = 8940.906 \pm 0.052$, and $C^{so} = 7825.551 \pm 0.042$ with the
interaction consts. $Q_{s^s} = 151.12 \pm 0.52$ and $Q_{b^s} = 44.4 \pm 7.0$. The
antisym. inversion states (*a*) were fitted as $A^{sa} = 32,423.347 \pm 0.142$,
 $B^{sa} = 8942.027 \pm 0.029$, and $C^{sa} = 7825.525 \pm 0.031$, and $A^{ao} =$
 $32,378.720 \pm 0.142$, $B^{ao} = 8940.984 \pm 0.029$, and $C^{ao} = 7825.573 \pm$
0.031 with the interaction consts. $Q_{s^a} = 167.10 \pm 0.31$, $Q_{b^a} = 48.1 \pm$
5.4. The energy splitting due to inversion was detd. (in MHz) as
 $\Delta\nu_{inv} = 1391.39 \pm 0.19$ and that due to internal rotation as $\Delta\nu_{tors} =$
 1170.58 ± 0.18 . The cis-barrier sepg. the 2 equiv torsional states was
 690 cm^{-1} , and the inversion barrier between the inversion states was
calcd. as 1400 cm^{-1} .

(MB checkmp)

C.A. 1984,
100, N 22



1984

Heyre E., Raabe G., et al.

meop. Z. Naturforsch. A: Phys,
paarüüer Phys. Chem. Kosmophys.
1984, 39A(6), 593-5.

(ee. MNH_2 ; III)

$(CH_3)_2NH$

1984

in UZDINJANUS;

(Vi)

UK, CKP,
pracem

102: 53222e Calculation of the vibrational spectrum of dimethylamine and its deuterated derivatives. Muldagiliev, Kh. Kh.; Pesterev, V. I.; Agashkin, O. V. (Inst. Khim. Nauk., Alma-Ata, USSR). *Zh. Fiz. Khim.* 1984, 58(11), 2890-3 (Russ.). The fundamental frequencies and shapes of vibration were caclcd. for 4 isotopic analogs of dimethylamine: Me_2NH , Me_2ND , $MeCD-NH$, and $MeCD-ND$. The results agreed with exptl. data according to IR and Raman spectra of the various aggregate states. Good agreement was found between obsd. and calcd. frequencies. The interpretations of several bands were made more precise.

C.A. 1985, 102, N6.

$(CH_3)_2NH(D)$

1984

5 Б1197. Расчет колебательного спектра диметиламина и его дейтеропроизводных. Мулдагалиев Х. Х., Пестеров В. И., Агашкин О. В. «Ж. физ. химии», 1984, 58, № 11, 2890—2893

Рассчитанные частоты и формы колебаний для 4-х изотопных аналогов диметиламина $(CH_3)_2NH(D)$, и $CH_3CD_3NH(D)$ сопоставлены с эксперим. материалом, относящимся к ИК- и КР-спектрам разных агрегатных состояний. Стандартное валентно-силовое поле хорошо описывает наблюдаемые спектры. Автореферат

X. 1985, 19, n5

$(CH_3)_2 NH^+$ DM · 25289 1986

$(CH_3)_3 N^+$ Bonazzola L., Veray N.,
Roncin J., et al.,

смесь кимпра,
ab initio
расчеты

J. Phys. Chem., 1986, 90,
N 22, 5573-5578.

$C_2H_5NH_2$

1986

†5 Б1136. Строение гош- и транс-конформеров этиламина по данным газовой электронографии. Molecular structure of the gauche and trans conformers of ethylamine as studied by gas electron diffraction. Hamada Yoshiaki, Tsuboi Masamichi, Yamanouchi Kaogi, Kuchitsu Kozo. «J. Mol. Struct.», 1986, 146, 253—262 (англ.)

Электронографически изучено строение гош- и транс-конформеров относительно связи C—N молекулы $CH_3CH_2NH_2$ с привлечением лит. данных МВ-спектроскопии. В совместном анализе использованы также результаты неэмпирич. расчетов с базисом 4-31 G(N*). Получены след. расстояния r_g и углы r_z : C—Нср 1,107(6), далее для транс- и гош-конформеров, соотв., C—N 1,470(10) и 1,475(10), C—C 1,531(6) и 1,524(6), LCCN 115,0(33) и 109,7(3) $^\circ$. Из содержания транс-конформера $(46 \pm 10\%)$ найдена разность энталпий ΔH (г—т) = 306(200) кал/моль. В. С. Маstryков

(д.н.)

ж. 1987, 19, N5

$C_2H_5NH_2$

LOM-25118

1986

Ikuta S.,

Ap, Chem. Phys., 1986, 108,
ab initio; N3, 441-449.

$(CH_3)_2 NH$

1986

Om. 25438

105: 197380q Ab initio SCF and UMP/2 description of the N-methyl substitution effect on C-H and OH bond dissociation energies in methylamine and hydroxylamine: discrepancy with experiment. Kysel, O.; Mach, P. (Cent. Chem. Res., Polym. Inst., 842 36 Bratislava, Czech.). THEOCHEM 1986, 32(3-4), 333-7 (Eng). The effect of the N-Me substituents was studied on the C-H bond energy in Me₂NH by the theor. method which incorporates electron correlation by the UPM2 (Unrestricted Moeller-Plesset) approach. For comparison, the N-Me substitution effect on the OH bond energy in the isoelectronic system N-methylhydroxylamine was also studied.

(ab initio
pacem)

c.A.1986, 105, N22

C_2H_7N

(OM. 24569)

1986

Siam K., Ewbark J.D.,
et al.

Journal Mol. Struct. Theo-
chem. 1986, 139, N1-2,

● 83-99.

$\text{CH}_3(\text{CH}_2)_2\text{NH}_2$ (m. 28586) 28586, 1987

Sato N., Hanada Y.,
Tsuboi M.,
Ii, et al.
no cm.,
lek u neop.
pacem
Spectrochim. Acta,
1987, 43A, N 7,
943-954.

$[C_2H_7N]^+$ [m. 26752]

1987

Yates B.F., Radom L.,

1987, Org. Mass Spectrom.,
1987, 22, N7, 430-436.

$(CH_3)_2 NH$ [0m-30%36, a"] 1988

Duncan J. L., McKean D. C.
et al.,

Фепиур-
резонанс.
исслед.
анализ.

J. Chem. Soc. Faraday
Trans. Pt II 1988, 84, N 9,

1423-42.

$\text{CH}_3 \cdot \text{CH}_2 \cdot \text{NH}_2$

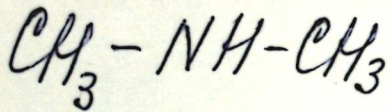
(OM-29591)

1988

корпорация,
сопред-
стукин-

Durig J.R., Broner P.,
et al.,

J. Mol. Struct.,
1988, 173, ~~1~~ 1-16.



1990

Engeln R.,
Reiss J. et al.

M.N.

Chem. Phys. Lett. 1990,
170(2-3), 206-10.

(cet. $\text{CH}_3-\text{CH-CH}_3$; II)

F: (CH₃)₂NH

P: 3

21B1122. Неэмпирические расчеты структуры спектров нежестких молекул. Применение к метиламину и диметиламину. Ab initio calculations of structures of spectra of non-rigid molecules. Applications to methylamine and dimethylamine / Smeyers Y. G., Senent M. L., Villa M. // WATOC'96: 4{th} Word Congr. Theor. Orient. Chem., Jerusalem, July 7-12, 1996: Program and Abstr. - [Tel Aviv], 1996. - C. 61. - Англ.

(9s3p1d/4s3p1d), Na - (12s8p1d/6s4p1d), K - (14s11p3d/9s8p3d), F (9s5p1d/4s2p1d). Согласно расчетам у изученных молекул равновесными являются плоские циклические структуры симметрии D[2h] (у M[2]F[2]) и C[2v] (у MM'F[2]). Линейные конфигурации M-F-M'-F (симметрии C['БЕСКОНЕЧН''ню']) на 70-190 кДж/моль менее

РУХ, 1998, 121

1996

1800

стабильны, чем циклические; у всех молекул, за исключением $M\text{-F-K-F}$, они отвечают локальным минимумам на поверхности потенциальной энергии. На примере рассмотренных молекул обсуждена роль корреляционных эффектов в неэмпирических расчетах геометрии, силовых полей и характеристик ИК спектров молекул с высокой полярностью хим. связей. Теор. силовые поля молекул представлены в канонической форме в системе избыточных естественных колебательных координат. Изучены закономерности силовых полей молекул $MM'\text{F}$ [2]. Результаты неэмпирических расчетов сопоставлены с имеющимися в литературе эксперим. данными о строении и колебательных спектрах рассмотренных молекул. Библ. 30.



2000

Schegolev B.F. et al.

neopen-
narem
cm₁-th,
cm₂₈₅₀H.

Russ. J. Org. Chem.
2000, 36(7), 955-59

(au·NH₃ O)III)